

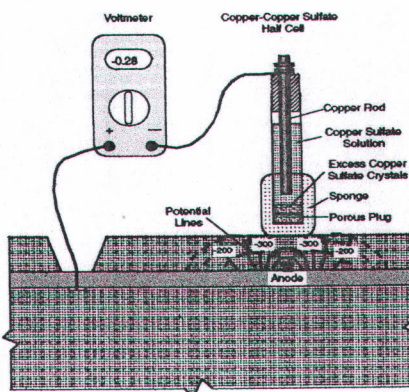
บทที่ 3

การตรวจวัดและแจ้งเตือนสนิมในคอนกรีต

การเกิดสนิมของเหล็กเสริมที่ฝังอยู่ในคอนกรีตไม่สามารถคาดการณ์ได้ชัดเจนต้องรอจนกว่าคอนกรีตจะเกิดการเสียหายซึ่งสิ่งที่สามารถป้องกันการเสื่อมสภาพของโครงสร้าง เช่น สนิมที่มีรอยค่างเป็นจุดๆ ที่ผิวของเหล็กเสริม อย่างไรก็ตามหากหลุดล่อนออกมานเป็นชิ้นๆ สำหรับในการทำงานอย่างการใช้งาน โครงสร้างคอนกรีตเสริมเหล็กที่เกิดสนิมนั้นควรที่จะต้องกำหนดวิธีการซ่อมแซมหรือการทำให้โครงสร้างคอนกรีตเสริมเหล็กกลับคืนสู่สภาพใช้งานได้ตามปกติ ซึ่งจำเป็นที่จะต้องใช้เทคนิควิธีทดสอบแบบไม่ทำลายสำหรับใช้ประเมินความสภาพการเกิดสนิมของเหล็กเสริมและใช้วัดค่าอัตราการเกิดสนิมของเหล็ก

3.1 วิธีการศักย์ไฟฟ้าคริ่งเซลล์

หลักการพื้นฐานการเกิดสนิมของเหล็กเสริมในคอนกรีต ดังที่ได้กล่าวมาแล้วสามารถที่จะตรวจสอบเพื่อพิสูจน์ได้ โดยนำเอาวิธีการนี้มาใช้ในการตรวจประเมินสภาพการเกิดสนิมของเหล็กเสริมในโครงสร้างคอนกรีตเสริมเหล็ก กรณีเมื่อเหล็กเสริมถูกกัดกร่อนก็จะเกิดการไหลของกระแสไฟฟ้าอยู่ทั่วในคอนกรีต (การแพร่กระจายของไอออน) ระหว่างบริเวณข้อแอลโโนดและข้อแคโรด โดยมีศักย์ไฟฟ้าของ การเกิดสนิมเกิดขึ้นโดยรอบๆ เหล็กเสริมดังภาพที่ 3-1 และคงให้เห็นถึงแนวเส้นของศักย์ไฟฟ้าที่ตัดผ่านกันจากผิวคอนกรีตถึงเหล็กเสริมและทุกๆ จุดที่มีศักย์ไฟฟ้าสามารถวัดค่าได้ ด้วยวิธีการของศักย์ไฟฟ้าคริ่งเซลล์ซึ่งมีลักษณะเป็นแพนที่เส้นขั้นความสูง ทำได้โดยใช้ค่าของศักย์ไฟฟ้าบนผิวคอนกรีตที่วัดค่าได้นำมากำหนดจุดลงบนแพนที่ซึ่งจะแสดงให้เห็นค่าของศักย์ไฟฟ้าที่จุดต่างๆ บนโครงสร้าง ความเป็นไปได้ของการเกิดสนิมให้พิจารณาจากค่าศักย์ไฟฟ้าที่วัดค่าได้บนผิวคอนกรีตโครงสร้าง ถ้าหากมีค่าเป็นลบมากกว่าแสดงว่าบริเวณนั้นมีโอกาสที่จะเกิดสนิมมากที่สุด (Elsener, B. et al, 1990 and Browne, R.D, et. al, 1983)



ภาพที่ -3-1 เครื่องมือและอุปกรณ์สำหรับใช้ทดสอบด้วยวิธีการศักย์ไฟฟ้าคริ่งเซลล์ ตามมาตรฐาน ASTM C 876 โดยการวัดค่าศักย์ไฟฟ้าที่ผิวของคอนกรีต ที่มา: (ASTM C 876, 2002)



วิธีการทดสอบตามมาตรฐาน ASTM C-876 ดังแสดงในภาพที่ 3-1 เครื่องมือและอุปกรณ์ประกอบด้วย Copper-Copper Sulfate มีการเชื่อมต่อสายไฟกับโอลท์มิตเตอร์ที่มีความด้านทานต่อไฟฟ้าลับ ประสิทธิภาพสูงและในส่วนของ half-cell มีเท่งทองแดงแซ่บอยู่ในสารละลายคอปเปอร์ซัลเฟตที่อยู่ในสภาพ อิ่มตัวใช้เป็นเซลล์อ้างอิงสำหรับการวัดศักย์ไฟฟ้าของเหล็กเสริมที่ฝังอยู่ในคอนกรีต การวัดค่าของศักย์ไฟฟ้า ขึ้นอยู่กับชนิดของคริ่งเซลล์ซึ่งมีผลต่อการเปลี่ยนแปลงค่าของศักย์ไฟฟ้าที่อ่านค่าได้และสำหรับการเชื่อมต่อ ของระบบ Half-Cell ทำได้โดยการเชื่อมต่อด้านที่เป็นบวกของโอลท์มิตเตอร์ให้ติดกันกับเหล็กเสริมและอีก ด้านของโอลท์มิตเตอร์ที่เป็นลบให้เชื่อมติดต่อกับ Copper-Copper Sulfate โอลท์มิตเตอร์ที่ใช้มีความละเอียดและ ประสิทธิภาพสูงเพียงพอสำหรับใช้อ่านค่าของศักย์ไฟฟ้าที่มีค่าต่ำมากๆ แสดงได้ดังภาพที่ 3-2 การวัด ศักย์ไฟฟ้าของเหล็กเสริมในคอนกรีตทำได้โดยใช้ Copper-copper sulfate half-cell เชื่อมต่อที่ผิวคอนกรีต เพื่อให้เกิดการไหลของกระแสไฟฟ้าครบวงจรโดยใช้ Porous Plug และฟองน้ำที่เปียกชื้นด้วยสารละลาย detergent เป็นต่อตัวนำไฟฟ้า

ถ้าหากเหล็กเสริมเกิดสนิมแสดงว่าอิเลคตรอนในเหล็กจะเคลื่อนที่จากเหล็กเสริมไปยัง half-cell เพราะว่าด้านปลายของโอลท์มิตเตอร์มีการเชื่อมต่อภายในวงจรไฟฟ้าดังภาพที่ 3-1 ค่าที่อ่านได้จากโอลท์มิตเตอร์ แสดงให้เห็นว่าแรงดันหรือศักย์ไฟฟ้าจะมีค่าเป็นลบ (ASTM G3) ในการวัดค่า half-cell potential เป็นการวัด ศักย์ไฟฟ้าแบบ open circuit potential เพราะเป็นการวัดค่าศักย์ไฟฟ้าภายใต้เงื่อนไขที่ไม่มีการวัดค่าของ กระแสไฟฟ้าในวงจร (ASTM G15) ค่าของแรงดันไฟฟ้าหรือศักย์ไฟฟ้าที่อ่านได้ที่ผิวของคอนกรีตจะมีค่าเป็น ลบมากขึ้นสามารถอธิบายได้ว่าเหล็กเสริมที่ฝังในคอนกรีตยังมีอิเลคตรอนส่วนเกินอีกมากจึงมีความเป็นไปได้ สูงที่เหล็กเสริมจะบังเป็นสนิมต่อไปได้อีก ในการอ่านค่าศักย์ไฟฟ้าแสดงให้เห็นถึงความน่าจะเป็นของการ เกิดสนิมของเหล็กเสริมที่อยู่ในตัวแห่งภายนอก คือ Copper-copper sulfate reference cell (Van Daveer, J.R.,1975) อย่างไรก็ตามค่าที่ถูกต้องๆเป็นไปตามมาตรฐาน ASTM C876 และวิธีการวัดค่าศักย์ไฟฟ้านี้ไม่สามารถนำมา ประยุกต์ใช้กับคอนกรีตและเหล็กเสริมที่มี epoxy เคลือบอยู่ที่พื้นผิว

วิธีเตรียมการทดสอบทำได้โดยกำหนดตำแหน่งของจุดให้มีลักษณะเป็นตาราง โดยมีระยะห่างให้ เหมาะสมตามลักษณะของโครงสร้างและปัจจัยที่ทำให้เกิดความผิดพลาด เช่นจุดที่กำหนดถ้ามีระยะห่างมาก เกินไปหรือการเตรียมข้อมูลไม่เหมาะสมเพียงพอสำหรับการประเมินค่าในขณะที่การกำหนดระยะ ห่างของ เหล็กเสริมเต็มพื้นที่ก็จะทำให้มีค่าใช้จ่ายในการสำรวจเพิ่มขึ้น เช่นในการสำรวจพื้นผิวคอนกรีตของสะพาน โดยตามมาตรฐาน ASTM C 876 แนะนำให้ใช้ระยะห่าง 1.20 m. ถ้าความแตกต่างของแรงดันระหว่างจุดที่อยู่ ใกล้กันมีค่าเกินกว่า 150 มิลลิโอลท์ ให้ถือว่าระยะห่างนั้นใช้ได้ อย่างไรก็ตามมีคำแนะนำอีก ที่กำหนดให้ ระยะห่างควรจะมีค่าประมาณครึ่งหนึ่งของ 1.20 m. สามารถให้ค่าความน่า เชื่อถือสำหรับการประเมินค่าการเกิด สนิมที่ยังดำเนินการอยู่และขยายออกไป (Clemena, G.G., Jackson, D.R, et al., 1992)

ค่าที่ยอมรับได้จากการทดสอบคือคอนกรีตต้องมีความชื้นอย่างเพียงพอที่จะทำให้กระแสไฟฟ้าไหล ครบวงจรเป็นเหตุผลที่สำคัญในการวัดค่าและการวัดค่าศักย์ไฟฟ้าคริ่งเซลล์มีการเปลี่ยนแปลงไม่คงที่ด้วย เวลาต้องทำตามมาตรฐาน ASTM C 876 ก่อนการทดสอบคอนกรีตต้องมีความเปียกชื้นเพียงพอและในขณะ

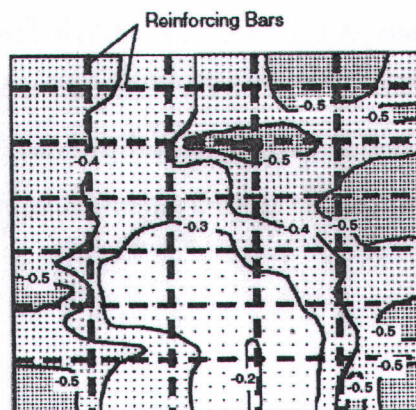


การทดสอบค่าที่วัดได้ไม่ควรเปลี่ยนแปลงมากกว่า ± 20 มิลลิโวลท์ ภายใน 5 วินาที (ASTM C 876) ถ้าหากค่าที่วัดได้มีความเสถียรไม่เพียงพอ อาจเป็นเพราะว่ากระแสไฟฟ้าภายในวงจรเกิดการหันเหทิศทางหรือความต้านทานของกระแสไฟฟ้าภายในวงจรมากเกิน สำหรับในกรณีที่ไม่ควรนำมาใช้กับวิธีการของศักย์ไฟฟ้าครึ่งเซลล์ เมื่ออุณหภูมิที่ใช้ทำการทดสอบอยู่ภายนอกช่วง 17 ถึง 28° C วิธีการทำให้การทดสอบถูกต้องนิความนำเข้าถือให้ทำตามมาตรฐาน ASTM C 876 สำหรับใช้วัดค่าแรงดันไฟฟ้า

3.2 การวิเคราะห์ข้อมูลของศักย์ไฟฟ้าครึ่งเซลล์

การวิเคราะห์ข้อมูลตามมาตรฐาน ASTM C-876 ค่าศักย์ไฟฟ้าครึ่งเซลล์ที่อ่านได้สามารถนำมาใช้ร่วมกับข้อมูลอื่นๆ เช่น ปริมาณคลอไรด์ในคอนกรีตความลึกของการโอบเนื้นในคอนกรีต สำหรับการแตกและหลุดล่อนของชั้นคอนกรีตที่อยู่ในสภาพสิ่งแวดล้อมเปิดเผยซึ่งการรวมสรุปข้อมูลเกี่ยวกับการเกิดสนิมที่ได้จากการสำรวจบ่างเป็นระบบด้วยวิธีการศักย์ไฟฟ้าครึ่งเซลล์สามารถแสดงให้เห็นได้ 2 แนวทางคือ 1. มีลักษณะเป็นแพนที่เส้นชั้นความสูงของศักย์ไฟฟ้าเท่ากันตลอดทั้งแพน 2. เป็นไดอะแกรมของความถี่สะสานของศักย์ไฟฟ้า ในขณะเดียวกันการรายงานค่าศักย์ไฟฟ้าที่ได้จากการสำรวจต้องระบุให้ชัดเจนในการใช้ข้าไฟฟ้าอ้างอิง (Reference electrode)

ผลลัพธ์ที่ได้จากการสำรวจนำเสนอมาสรุปจัดทำเป็นแพนที่เส้นชั้นความสูงของศักย์ไฟฟ้าซึ่งสามารถทำได้โดยนำเอาค่าที่ได้จากการทดสอบในแต่ละจุดมาสร้างลงบนแปลนตามมาตรฐานส่วนของพื้นที่ทั้งหมดที่ได้ทำการทดสอบ สำหรับค่าแรงดันที่อ่านได้จาก half-cell ในแต่ละจุดของการทดสอบให้ทำเครื่องหมายไว้บนแปลนและเขียนเส้นชั้นความสูงซึ่งมีค่าความต่างศักย์ไฟฟ้าเท่ากันโดยใช้ค่าของแรงดันที่วัดได้ดังแสดงในภาพที่ 3-2 เป็นตัวอย่างของแพนที่เส้นชั้นความสูงที่มีศักย์ไฟฟ้าเท่ากันตลอดความยาวทั้งเส้นตามมาตรฐาน ASTM C-876 แรงดันไฟฟ้าหรือศักย์ไฟฟ้าในแต่ละจุดที่วัดค่าได้ในแต่ละช่วงของเส้นชั้นความสูงไม่ควรมีค่าต่างกันเกิน 100 มิลลิโวลท์



ภาพที่ 3-2 ตัวอย่างแพนที่เส้นชั้นความสูงของศักย์ไฟฟ้าที่สำรวจได้จาก half-cell potential

ที่มา : (ASTM C 876, 2002)



วิธีการของไอดอกแกรมความถี่สะสูของศักย์ไฟฟ้าทำได้โดยการนำข้อมูลของศักย์ไฟฟ้าเขียนเป็นแผนผังแบบร่างลงบนกระดาษเพื่อหาความน่าจะเป็นสอดคล้องตามมาตรฐาน ASTM C-876 โดยนำข้อมูลที่ได้จากการสำรวจทั้งหมดมาเขียนเป็นกราฟเส้นที่มีการปรับเปลี่ยนให้เข้ามาตรฐานพอดี (best-fit straight line) จากไอดอกแกรมความถี่สะสูนำมาใช้โดยกำหนดค่าที่อ่านได้ของศักย์ไฟฟ้ามีค่าเป็นร้อยละซึ่งเป็นค่าที่ให้ความแน่นอนเมื่อมีความเป็นลบมากกว่าและสามารถใช้ระบุเป็นค่าของการเกิดสนิมที่ระดับต่างๆ กัน (Elsener, B., et al, 1990) จากทั้งสองวิธีการจะสอดคล้องกับมาตรฐาน ASTM C 876 สามารถที่จะใช้ในการประเมินผลได้ คือ เป็นวิธีการเชิงตัวเลขและเป็นเทคนิคที่แสดงความแตกต่างกันของศักย์ไฟฟ้า (potential difference technique) สำหรับวิธีการเชิงตัวเลขจะบ่งชี้ให้เห็นถึงความเป็นไปได้ในการเกิดสนิม

มาตรฐาน ASTM C-876 ให้เป็นแนวทางในการทดสอบดังนี้ ใช้สำหรับกรณีข้อไฟฟ้าอ้างอิงเป็น Copper-copper sulfate reference electrode ดังนี้

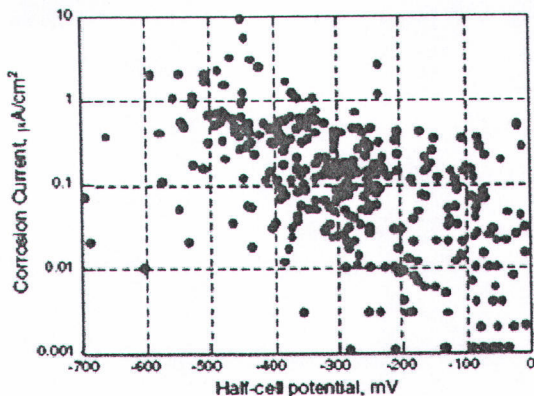
- ถ้าศักย์ไฟฟ้ามีค่าเป็นลบมากกว่า -200 มิลลิโวลท์ มีความเป็นไปได้สูงที่เหล็กจะไม่เกิดสนิม
- ถ้าศักย์ไฟฟ้ามีค่าเป็นลบมากกว่า -350 มิลลิโวลท์ มีความเป็นไปได้สูงที่เหล็กจะเกิดสนิม
- ความไม่แน่นอนในการเกิดสนิมเมื่อค่าแรงดันอยู่ในช่วง -200 ถึง -350 มิลลิโวลท์

อย่างไรก็ตามข้อแนะนำให้ไปประยุกต์ใช้งานบนหลักการเชิงตัวเลขไม่ควรใช้ในสภาวะเงื่อนดังต่อไปนี้

- การเกิด Carbonation ได้ขยายว่างออกไปจนถึงระดับของเหล็กเสริมในคอนกรีต
- การประเมินสภาพคอนกรีตที่อยู่ภายใต้จัดเก็บไม่ได้อยู่ในสภาพเปียกชื้น
- เปรียบเทียบการกัดกร่อนของคอนกรีตที่อยู่ภายใต้ภัยน้ำกับความชื้นที่มีความแปรผันสูงหรือปริมาณออกซิเจนที่มีอยู่ในคอนกรีต

จากข้อความข้างบนเป็นข้อแนะนำการระวังป้องกันในขณะทดสอบ เพราะว่าเป็นสิ่งที่สำคัญต่อความด้านทานของคอนกรีตและออกซิเจนที่มีอยู่ทำให้เกิดอัตราการเกิดสนิมและจากภาพที่ 3-3 แสดงให้เห็นถึงความสัมพันธ์ที่ไม่เด่นชัดระหว่างวิธีการศักย์ไฟฟ้าครึ่งเซลล์กับวิธีการวัดค่าความหนาแน่นกระแสไฟฟ้าการเกิดสนิมโดยวิธีการวัดค่าความด้านทานโพลาไรซ์ (Feliu, S., Gonzalaz, J.A., and Andrade, C, 1996) สามารถอธิบายได้ว่าค่าความหนาแน่นกระแสไฟฟ้าการเกิดสนิมมีค่าน้อยกว่า $0.1 \mu\text{A}/\text{cm}^2$ ให้พิจารณาว่าเหล็กเสริมไม่เกิดสนิมแต่ถ้ามีค่ามากกว่า $1 \mu\text{A}/\text{cm}^2$ ให้พิจารณาว่าเหล็กเสริมจะมีโอกาสเกิดสนิมสูงมากดังแสดงตามภาพที่ 3-3 การนำไปประยุกต์ใช้งานต้องทำตามข้อแนะนำตามมาตรฐาน ASTM C-876





ภาพที่ 3-3 เปรียบเทียบความสัมพันธ์ระหว่างความหนาแน่นของกระแสไฟฟ้าการเกิดสนิม(i_{corr})กับศักย์ไฟฟ้าครึ่งเซลล์ ที่มา : (Feliu,S.,Gonzalaz.,J.A.,and Andrade,C.,1996)

วิธีการของศักย์ไฟฟ้าที่มีความแตกต่างกัน (potential difference technique) สำหรับบริเวณพื้นที่เกิดสนิมพื้นที่บริเวณนั้นจะแสดงให้เห็นถึงความลาดเอียงของศักย์ไฟฟ้าที่มีค่าแตกต่างกันซึ่งเป็นพื้นฐานของแผนภูมิเส้นชั้นความสูงของศักย์ไฟฟ้าสำหรับค่าแรงดันไฟฟ้าที่มีลักษณะเป็นเส้นชั้นความสูง (equipotential contour) ระยะห่างของเส้นชั้นความสูงของค่าแรงดันที่เป็นรูปปีกแสดงให้เห็นว่าบริเวณนี้มีความลาดเอียงสูง ซึ่งบางครั้งในทางปฏิบัติค่าของแรงดันไฟฟ้าที่วัดค่าได้เปลี่ยนแปลงมากเกินไป ดังนั้นตัวบ่งชี้ที่แสดงให้เห็นการเกิดสนิมจะเป็นพื้นที่ผิว เช่นแรงดันไฟฟ้าเปลี่ยนแปลงมากกว่า 100 มิลลิโวลท์ จะต้องมีพื้นที่มากกว่า 5 ตารางเมตร ดังนั้นวิธีการของ potential difference technique เป็นที่ยอมรับกันโดยทั่วไปในการบ่งชี้ให้เห็นถึงบริเวณที่เกิดสนิมซึ่งมีความน่าเชื่อถือมากกว่าการใช้เทคนิคเชิงตัว เลข (Elsener, B., Dawson, J.L., et. al.,1990)

การอ่านค่าศักย์ไฟฟ้าในสภาพที่เหล็กเกิดสนิมอย่างมีเหตุผลนั้นสามารถพิจารณาได้จากคอนกรีตจะต้องมีความชื้นอย่างเพียงพอและผู้ใช้ต้องมีความเข้าใจและยอมรับวิธีการใช้งานเมื่อคอนกรีตมีความชื้นไม่เพียงพอสำหรับใช้ในการวัดค่าซึ่งเป็นสิ่งสำคัญ นอกจากนี้มีหลายองค์ประกอบที่มีผลกระทบต่อขนาดของศักย์ไฟฟ้าที่อ่านค่าได้ ดังนั้นองค์ประกอบดังกล่าวจึงไม่สามารถที่จะให้ค่าที่ถูกต้องแท้จริงตามสภาพการเกิดสนิมได้ (Elsener, B., Dawson, J.L., et. al., 1990)

ปัจจัยหลักหลายที่มีผลผลกระทบกับวิธีการทดสอบการเกิดสนิมโดยผู้เชี่ยวชาญทางด้านการเกิดสนิมได้ให้คำแนะนำที่เหมาะสมของวิธีการสำรวจด้วยศักย์ไฟฟ้าครึ่งเซลล์ภายใต้เงื่อนไขดังต่อไปนี้ (ASTM C-876)

- คอนกรีตต้องอยู่ในสภาพที่อิ่มตัวด้วยน้ำ
- คอนกรีตเกิด Carbonated ที่ระดับความลึกของเหล็กเสริม
- เหล็กเสริมที่เคลือบด้วย (galvanized)



ในการสำรวจค่าศักย์ไฟฟ้าความมีการทดสอบเพิ่มเติมด้วยการทดสอบ Carbonation และปริมาณกลอไรค์ไฮอนในคอนกรีต ซึ่งผลที่ได้จากการทดสอบควรสรุปเป็นข้อมูลให้ชัดเจนของค่าศักย์ไฟฟ้าที่สำรวจวัดค่าได้ที่แสดงให้เห็นถึงบริเวณที่เกิดสนิมขณะที่ทำการทดสอบเวลาหนึ่งและเงื่อนไขสภาพสิ่งแวดล้อมที่เปลี่ยนแปลง

3.2 ความต้านทานของคอนกรีต

วิธีการของศักย์ไฟฟ้าครึ่งเซลล์เป็นวิธีการที่แสดงให้เห็นถึงความเป็นไปได้ถึงบริเวณที่เหล็กจะเกิดสนิมในช่วงเวลาหนึ่งที่ทำการวัดค่า จากที่ได้มีการอธิบายมาแล้วนั้น สรุปได้ว่าหลังจากที่เหล็กเกิดการสูญเสียความต้านทานการเกิดสนิม(Depassivation)และอัตราการเกิดสนิมจะขึ้นอยู่กับออกซิเจนที่ยังทำปฏิกิริยาที่ข้าวแครอตและยังขึ้นอยู่กับความต้านทานทางไฟฟ้าของคอนกรีตด้วยการทำให้ง่ายต่อการแพร่ของอิオンที่มีอยู่ทั่วไปในคอนกรีตระหว่างบริเวณข้าวแครอตและข้าวแครอต นอกจากนี้ความต้านทานทางไฟฟ้าของคอนกรีตยังขึ้นอยู่กับผิวของโครงสร้างเด็กๆซึ่งเป็นโครงสร้างเด็กๆของเพสต์และปริมาณความชื้นของคอนกรีต ดังนั้นประโยชน์ที่ได้จากการทดสอบและสำรวจด้วยวิธีการศักย์ไฟฟ้าครึ่งเซลล์เป็นการวัดค่าความต้านทานทางไฟฟ้าของคอนกรีต ค่าความต้านทานไฟฟ้ามีหน่วยเป็นลูกบาศก์ของวัสดุของความต้านทาน(โอม์)ต่อกำลังไฟฟ้า(Millard, S.G., et al., 1989) โดยที่ตัวนำทางไฟฟ้าเป็นความต้านทาน R ของพื้นที่คือ A และความยาวเป็น L ซึ่งมีความสัมพันธ์กับค่าความต้านทาน ρ ดังสมการที่

$$\rho = \rho \frac{L}{A} \quad (3-1)$$

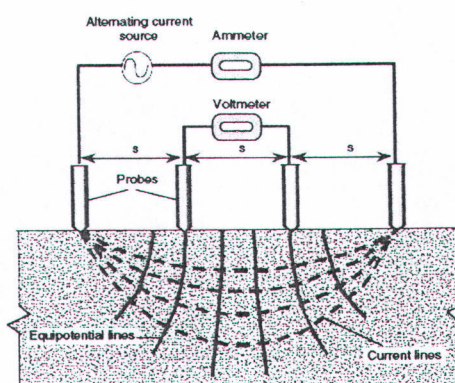
มาตรฐานวิธีการทดสอบการวัดค่าความต้านทานของคอนกรีตยังไม่มีการจัดทำเป็นมาตรฐาน แต่มีเทคนิคที่ใช้แล้วประสบความสำเร็จ ดังแสดงในภาพที่ 3-4 (Millard, S.G. and et al., 1989)

จากพื้นฐานของหลักการนี้เป็นวิธีที่นิยมใช้กันเป็นระบบของ 4 ขั้วไฟฟ้า (Wenner, F., 1915) ซึ่งได้จัดทำขึ้นเป็นมาตรฐานสำหรับใช้ในการวัดค่าความต้านทานของดิน (ASTM G-57, 2002) โดยที่ตำแหน่งของขั้วไฟฟ้าทั้ง 4 มีระยะห่างเท่ากันเป็นระบบการเรื่มนต่อกันทางไฟฟ้ากับผิวของคอนกรีต โดยใช้ (cream) เป็นสื่อตัวนำไฟฟ้า (Millard, S.G., Ghassemi, M.H., and Bungey, J.H., 1990) จากภาพที่ 3-6 มีหลักการทำงานคือ ขั้วไฟฟ้าที่อยู่ภายนอกจะเชื่อมต่อกันแหล่งที่ให้กระแสไฟฟ้าและขั้วไฟฟ้าที่อยู่ภายใน 2 ขั้วจะเชื่อมต่อกับเครื่องมืออ่านค่าแรงดันไฟฟ้า (โวลท์มิเตอร์) ดังนั้นค่าความต้านทานทางไฟฟ้าของคอนกรีตสามารถแสดงได้ดังสมการที่ 11 (Millard, S.G., Wenner, F., A., et al., 1990)

$$\rho = \frac{2\pi s V}{I} \quad (3-2)$$



จากสมการที่ 11 ได้มาจากการทดลอง Wenner ภายใต้สมมุติฐานของวัสดุเป็นแบบ (semi-infinite) และมีคุณสมบัติเหมือนกัน ดังนั้นความสัมพันธ์ที่ให้มำจะทำให้การวัดค่าความต้านทานได้ค่าที่ถูกต้องเมื่อสมมุติฐานมีข้อมูลเป็นที่เพียงพอและทุกๆค่าของการเบี่ยงเบนจากข้อสมมุติฐานของ Wenner's จะนำไปสู่ความแตกต่างระหว่างค่าความต้านทานที่ได้จากการคำนวณและค่าความต้านทานที่แท้จริงของวัสดุ (Millard, S.G., Ghassemi, M.H., and Bungey, J.H., 1990)



ภาพที่ 3-4 การทดสอบวัดค่าความต้านทานของคอนกรีตด้วย 4 ขี้ไฟฟ้า

ที่มา : (Bungey, J.H., 1989)

Millard, S.G., et al., 1990. นำเสนอผลที่ได้จากการทดลองศึกษาและวิเคราะห์ให้เป็นที่ยอมรับของอันดับขนาดที่มีความผิดพลาดระหว่างค่าความต้านทานที่ได้จากการคำนวณและค่าความต้านทานที่แท้จริง เมื่อนำสมการที่ 3.2 ไปประยุกต์ใช้กับชิ้นส่วนโครงสร้างคอนกรีตขนาดเล็ก ซึ่งมีหนึงตัวแปรที่ต้องพิจารณา คือระยะห่างที่น้อยที่สุดของขี้ไฟฟ้า เพราะว่าส่วนประกอบของเพสต์และมวลรวมจะให้ค่าความต้านทานที่แตกต่างกัน จึงต้องให้ความสำคัญกับระยะห่างของขี้ไฟฟ้าอย่างเพียงพอ ดังนั้นค่าความต้านทานของคอนกรีตจะเป็นค่าเฉลี่ย สำหรับระยะห่างน้อยที่สุดของขี้ไฟฟ้าขึ้นอยู่กับขนาดโดยสุดของมวลรวม หาบใช้เป็นค่าสำหรับระยะห่าง ในขณะที่ระยะห่างก็ยังเป็นตัวแปรที่กำหนดระดับความลึกซึ่งมีผลกระทบต่อการวัดค่าด้วยเหมือนกัน ในขณะที่ชิ้นส่วนที่มีลักษณะดีนี้หรือบางก็ต้องมีความสอดคล้องกับระยะห่างของขี้ไฟฟ้าด้วย

บนพื้นฐานจากการศึกษา Millard, S.G., et al., 1990. ได้แนะนำระยะห่างระหว่างขี้ไฟฟ้าที่สามารถนำไปใช้ได้อย่างเหมาะสมมีค่าประมาณ 50 มิลลิเมตร ขนาดความกว้างและความลึกของชิ้นส่วนโครงสร้างควรจะมีอย่างน้อย 4 เท่าของระยะห่างขี้ไฟฟ้า นอกจากนี้ระยะห่างของชิ้นส่วนไม่ควรน้อยกว่า 2 เท่าของระยะห่างของขี้ไฟฟ้า เมื่อขนาดต่างๆเหล่านี้น้อยไม่เพียงพอ ค่าความต้านทานที่คำนวณได้จากการที่ 3-2 ก็จะให้ค่ามากเกินไป ปัจจัยอื่นๆที่มีผลกระทบต่อการคำนวณค่าความต้านทานแสดงให้เห็นได้ชัดเจน เช่นชั้นพื้นผิวที่บางมีผลทำให้ความต้านทานของคอนกรีตและเหล็กเสริมมีค่าต่ำกว่าค่าที่แท้จริง ซึ่งเป็นเงื่อนไขที่ให้ผลลัพธ์โดยตรงกับค่าความต้านทาน สำหรับปัจจัยอื่นที่มีผลกระทบต่อเหล็กเสริม เช่น



ความลึกของระบะหุ้มคอนกรีตรวมถึงขนาดเส้นผ่านศูนย์กลางของเหล็กเสริมที่สูญเสียไปจะทำให้ชื้นส่วนโครงสร้างรับกำลังลดลง

เทคนิคที่ใช้วัดค่าความต้านทานที่ได้จากการ Linear polarization (Broomfield,J.,1966) โดยใช้โพรบ(Probe) เป็นอุปกรณ์ที่มีสายเชื่อมต่อ กับเครื่องมือโพลาไลท์วัดอุณหภูมิและความชื้นสัมพัทธ์ที่อยู่โดยรอบและวัดค่าความต้านทานของคอนกรีตด้วยวิธีการ Linear polarization ผลกระบวนการจากการวัดค่าความต้านทานของคอนกรีตระหว่างเหล็กเสริมและตำแหน่งที่ probe วางบนผิวคอนกรีต ยังไม่ผู้แต่งได้เผยแพร่หรือตีพิมพ์พนักความโดยเบรียบเทียบการวัดค่าความต้านทานโดยใช้ 4 probe และ 1 probe การพัฒนาวิธีการของ single-probe และได้ให้ข้อเสนอแนะดังแสดงในตารางที่ 3-1 แสดงถึงความสัมพันธ์ของความต้านทานคอนกรีตกับความเสี่ยงของการเกิดสนิม (Feliu,S.,Gonzalez, J.A.,and Andrade, C.,1996)

ตารางที่ 3-1 ความสัมพันธ์ระหว่างความต้านทานของคอนกรีตและความเสี่ยงของการเกิดสนิม

ความต้านทาน ($k\Omega \cdot \text{cm}$)	ความเสี่ยงของการเกิดสนิม
>100 ถึง 200	ไม่เกิดสนิม ; คอนกรีตมีสภาพแห้ง
50 ถึง 100	อัตราการเกิดสนิมต่ำ
10 ถึง 50	ความหมายสมในการเกิดสนิมสูงเมื่อเหล็กเริ่มกัดกร่อน
< 50	ความต้านทานไม่สามารถควบคุมอัตราการเกิดสนิมได้

ที่มา : Feliu, S. et al., 1996.

ในอีกรูปหนึ่ง Bungey ได้ให้แนวทางถึงความแตกต่างกันของข้อมูลระหว่างความต้านทานของคอนกรีตและความเสี่ยงของการเกิดสนิม เมื่อเหล็กเสริมสูญเสียความต้านทานการเกิดสนิมดังแสดงในตารางที่ 3-2

ตารางที่ 3-2 ความสัมพันธ์ระหว่างความต้านทานของคอนกรีตและความเป็นไปได้ในการเกิดสนิม

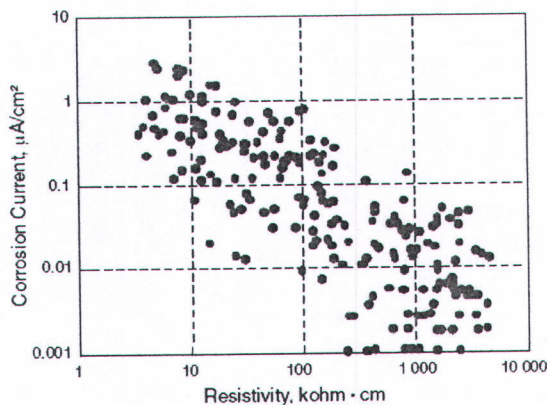
ความต้านทาน ($k\Omega \cdot \text{cm}$)	ความเป็นไปได้ของการเกิดสนิม (Nonsaturated Concrete)
> 20	ต่ำ
10 ถึง 20	ต่ำ / หมายความ
50 ถึง 10	สูง
< 5	สูงมาก

ที่มา : Bungey, J.H., 1989.

จากภาพที่ 3-5 แสดงถึงความสัมพันธ์ของอัตราการเกิดสนิมของคอนกรีตและความต้านทานของคอนกรีต (Feliu, S., Gonzalez, J.A., and Andrade, C., 1996) เปรียบเทียบกับรูปที่ 3-3 จะเห็นได้ชัดเจนว่า เมื่อเหล็กเสริมสูญเสียความต้านทานการเกิดสนิม ความต้านทานของคอนกรีตจะมีความสัมพันธ์กับอัตราการเกิดสนิมได้ดีกว่าการวัดค่าด้วยวิธีการ half-cell potential



สรุปโดยย่อ การวัดค่าความด้านทานของคอนกรีตเป็นการจัดเตรียมข้อมูลเพิ่มเติมเพื่อใช้ในการประเมินความเป็นไปได้ของระดับการเกิดสนิมที่มีความแตกต่างกัน ซึ่งเป็นการนำเอาประโยชน์ที่ได้จากการสำรวจด้วยวิธีการสักยีไฟฟ้าริ่งเซลล์มาใช้ ค่าความด้านทานที่สูงที่ได้จากการสำรวจสักยีไฟฟ้าแต่อัตราการเกิดสนิมอาจจะมีค่าต่ำ การอ้างอิงถึงความด้านทานของคอนกรีตที่มีความสัมพันธ์กับการแพร่กระจายของไอออนไปโดยทั่วคอนกรีตภายใต้การกระทำของสักยีไฟฟ้าโดยรอบๆ ข้อแอนโอดและข้อแค็卓ค คอนกรีตที่มีความด้านทานเพิ่มขึ้นจะทำให้ปริมาณของโพรงซ่องว่างในเพชรต้มมีจำนวนลดลงส่งผลให้คอนกรีตมีความทึบแน่นอย่างการใช้งานของคอนกรีตจึงเพิ่มขึ้น



ภาพที่ 3-5 เปรียบเทียบความหนาแน่นกระแสไฟฟ้าการเกิดสนิม (i_{corr}) และค่าความด้านทานของชิ้นส่วนคอนกรีต
ที่มา : (Feliu, S., Gonzalez, J.A., and Andrade, C., 1996)

3.3 ความด้านทานโพลาไรซ์เชั้น

เนื่องจากวิธีการของสักยีไฟฟ้าริ่งเซลล์ (half-cell potential) เป็นวิธีการวัดค่าสักยีไฟฟ้าของการเกิดสนิมที่ให้ค่าโดยประมาณ ซึ่งมีข้อเสียกล่าวคือวิธีการของ (half-cell potential) ไม่สามารถที่จะแสดงค่าของอัตราการเกิดสนิมได้โดยตรง ซึ่งมีหลายวิธีการที่พยายามหาค่ากระแสไฟฟ้าของการเกิดสนิมเพื่อนำเอาไปคำนวณหาอัตราการเกิดสนิมของเหล็กเสริมในคอนกรีต ซึ่งวิธีการของ Linear polarization resistance (LPR) เป็นอีกวิธีการหนึ่งที่เป็นที่ยอมรับและนิยมใช้กันอย่างแพร่หลายในปัจจุบัน (Flis, J., Sehgal, A., et al. 1992) และได้จัดทำเป็นมาตรฐานวิธีการทดสอบ (Cady and Gannon 1992; Flis et al. 1992)

หลักการของเทคนิคความด้านทานโพลาไรซ์เป็นวิธีการที่ดีสำหรับใช้หาค่าอัตราการเกิดสนิม (Corrosion rate) ของเหล็กเสริม สอดคล้องตามมาตรฐาน ASTM G-59 เป็นเทคนิคพื้นฐานของการวัดค่าการเปลี่ยนแปลงใน Open Circuit potential (OCP) ของเซลล์ตัวนำไฟฟ้าแบบ Short-Circuited เมื่อมีกระแสไฟฟ้าจากภายนอกไฟลผ่านเซลล์ จะทำให้ไฟฟ้าครองวงจรซึ่งวิธีการวัดของ LPR ที่นิยมใช้กันมี 2 วิธีการเรียกว่า Potentiostatically ทำได้โดยเพิ่มแรงดันไฟฟ้าเป็นช่วงทำให้สักยีไฟฟ้า (ΔE) เกิดการ



เปลี่ยนแปลงซึ่งแปรผันไปตามค่าของกระแสไฟฟ้า (ΔI) ในขณะเวลาหนึ่งสำหรับวิธีที่ 2 เรียกว่า Galvanostatically ทำได้โดยเพิ่มกระแสไฟฟ้าเป็นช่วงๆ ทำให้กระแสไฟฟ้า (ΔI) เกิดการเปลี่ยนแปลงซึ่งแปรผันไปตามค่าศักย์ไฟฟ้า (ΔE) ในขณะเวลาหนึ่ง โดยที่ค่าของแรงดันที่เปลี่ยนแปลงต้องอยู่ภายในช่วง 10-30 มili โวลท์เท่านั้นค่าที่วัดได้ถึงจะมีความถูกต้อง ซึ่งค่าเหล่านี้มีความสัมพันธ์เป็นเส้นตรงระหว่างการเปลี่ยนแปลงของแรงดัน (ΔE) และการเปลี่ยนแปลงของกระแสไฟฟ้าต่อหน่วยพื้นที่ของข้าไฟฟ้า (ΔI) ความสัมพันธ์ของอัตราส่วนระหว่าง $\Delta E/\Delta I$ เรียกว่าความด้านทานโพลาไรซ์ (R_p) ดังสมการที่ 3-3 เพราะว่ากระแสไฟฟ้าจะแสดงในเทอมต่อหน่วยพื้นที่ของข้าไฟฟ้าเป็น Polarized โดยที่ (R_p) มีหน่วยเป็นโอห์มพื้นที่ (ohms.cm^2) ตามมาตรฐาน ASTM G15

$$R_p = \frac{\Delta E}{\Delta I} \quad (3-3)$$

Stern and Geary (1957) ได้จัดทำขึ้นภายใต้ความสัมพันธ์ระหว่างอัตราการเกิดสนิมของข้าเօโนดและความด้านทานโพลาไรซ์ ซึ่งอธิบายได้จากความสัมพันธ์ของการเกิดปฏิกิริยาที่ข้าเօโนดและแคโรด และหาได้จากการคาดคะเนของ Graf เส้นโพลาไรซ์ของปฏิกิริยาที่ข้าเօโนดและข้าเคนโดด เมื่ออัตราการเกิดสนิมแสดงอยู่ในรูปความหนาแน่นของกระแสไฟฟ้าการเกิดสนิมซึ่งแปรผันโดยตรงกับความด้านทานโพราไลท์เชิง (R_p) (ASTM G59) แสดงไว้ดังสมการที่ 13

$$I_{corr} = \frac{B}{R_p} \quad (3-4)$$

โดยที่

I_{corr} = ความหนาแน่นของกระแสไฟฟ้าการเกิดสนิม ($\mu\text{A/cm}^2$)

B = ค่าคงที่ของแรงดันไฟฟ้า (mV)

R_p = ความด้านทานโพลาไรซ์ (Ohms.cm^2)

โดยค่า B เป็นค่าคงที่ของ Stern-Geary โดยที่ $\sqrt{B} = 25 \text{ mV}$ เป็นช่วงที่เหล็กเสริมในคอนกรีตเริ่มเกิดสนิม (Active steel) และใช้ค่าเท่ากับ 50 mV สำหรับเหล็กเสริมในคอนกรีตยังไม่เกิดสนิม (passive steel) (K.R. Gowers, S.G. Millard., et al., 1994) และค่าความหนาแน่นกระแสไฟฟ้าของการเกิดสนิม (i_{corr}) หาได้จากพื้นที่ของเหล็กเสริมตรงบริเวณที่วัดค่าซึ่งคำนวณได้ตามสมการที่ 3-4

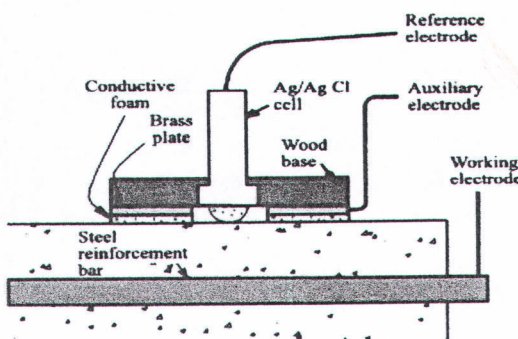
$$i_{corr} = \frac{I_{corr}}{A} \quad (3-5)$$

สิ่งที่ชี้ให้เห็นถึงกำลังของโครงสร้างที่เหลืออยู่ทำได้โดยการประเมินอายุการใช้งานของโครงสร้าง ด้วยวิธีการทดสอบของ LPR ซึ่งเป็นวิธีการที่มีลักษณะเฉพาะโดยการนำเอาข้าไฟฟ้า (Electrode) ซึ่งเป็น



อุปกรณ์เสริมน้ำมีประยุกต์ใช้เพื่อช่วยในการวัดค่าความด้านทานของคอนกรีตให้ดีขึ้น ดังแสดงในภาพที่ 16 เป็นการตั้งสมมุติฐานพื้นที่ผิวของเหล็กเสริมน้ำมีประยุกต์ที่อยู่ในคอนกรีตให้อยู่ภายใต้ข้อไฟฟ้า

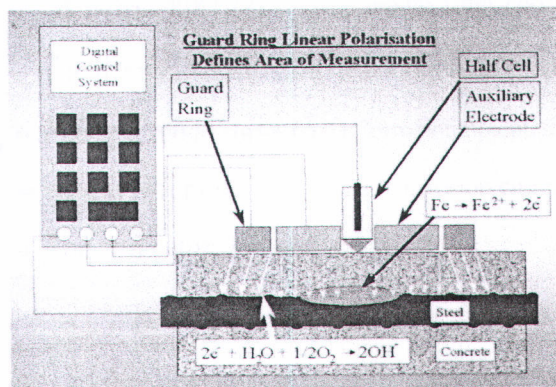
อย่างไรก็ตามจะเห็นได้ชัดเจนว่า การไฟฟ้าจากข้อไฟฟ้าไปยังพื้นผิวเหล็กเสริมน้ำมีประยุกต์เป็นการส่งสัญญาณในลักษณะที่ไม่มีการจำกัดขอบเขตกระแสไฟฟ้าให้อยู่ภายใต้ข้อไฟฟ้าส่งผลให้กระแสไฟฟ้าแพร่กระจายเกินออกไปทางด้านข้างซึ่งเป็นสิ่งที่ไม่ทราบโดยเฉพาะเหล็กเสริมน้ำมีพื้นที่ขนาดกว้างมาก (S. Feliu, J.A. Gonzalez, C. Andrade., et al., 1988) เป็นเหตุให้ได้ผลลัพธ์ที่ไม่ถูกต้อง เพราะว่าพื้นผิวของเหล็กเสริมน้ำมีประยุกต์ (Polarized) ไม่ถูกต้องซึ่งทำให้การคำนวณค่าความหนาแน่นกระแสไฟฟ้าของการเกิดสนิม (i_{corr}) เกิดการผิดพลาดในขณะเดียวกันผลของการประเมินตรวจสอบโครงสร้างจะไม่ถูกต้องด้วย



ภาพที่ 3-6 การวัดค่าความด้านทานไฟฟ้าของเหล็กเสริมในคอนกรีต โดยไม่มี guard ring ที่มา : S.G. Milliard, D.W.Law. et al,(2001)

จากปัญหาของการส่งสัญญาณที่ไม่จำกัดขอบเขตสามารถแก้ไขได้โดยเพิ่มอุปกรณ์เสริมน้ำมีลักษณะเป็นวงแหวนล้อมรอบข้อไฟฟ้าและ half-cell ซึ่งสามารถช่วยจำกัดขอบเขตการส่งสัญญาณของกระแสไฟฟ้าให้อยู่ในขอบเขตซึ่งได้มีการพัฒนาโดย J.A. Gonzalez, S. Feliu, Jr, C. Andrade. And et al.1990 หลักการทำงานของ Guard ring ที่ล้อมรอบอยู่ภายนอกข้อไฟฟ้าจะช่วยรักษาการกระจายของกระแสไฟฟ้าในระหว่างการวัดค่า LPR ให้อยู่ในขอบเขตของ Guard ring ซึ่งทำให้ได้ค่าของกระแสไฟฟ้ากระทำต่อพื้นผิวได้ค่าที่ถูกต้อง การจำกัดขอบเขตของกระแสไฟฟ้าให้อยู่ภายใต้ Guard ring เป็นการป้องกันสัญญาณรบกวนของกระแสไฟฟ้าจากข้อไฟฟ้าที่อยู่ภายใต้





ภาพที่ 3-7 การวัดค่าความด้านงานไฟฟ้าซึ่ด้วยการจำกัดขอบเขตการรับและส่งสัญญาณของกระแสไฟฟ้าจาก Guard ring ไปยังพื้นผิวของเหล็กเสริม
ที่มา S.G. Milliard, D.W.Law. et al, (2001)

3.4 การประเมินค่าแบบไฟฟ้า

เทคนิคการประเมินค่าของ Tafel extrapolation technique (TP) เป็นอีกวิธีการหนึ่งของปฏิกริยาไฟฟ้าเคมีใช้สำหรับคำนวณหาค่าอัตราการเกิดสนิมบนหลักการพื้นฐานของความหนาแน่นของกระแสไฟฟ้าการเกิดสนิม (i_{corr}) และความลาดชันไฟฟ้า (Tafel Slope) ดังนั้นค่าความลาดชันไฟฟ้าควรนำมาใช้ในการคำนวณหาอัตราการเกิดสนิม (C.Andrade, M.C. Alonso, J.A.Gonzalz, et al., 1990)

วิธีการระหว่าง LPR และ TP เป็นการประยุกต์ใช้จากการพื้นนี้ เช่นการกำหนดค่าของกระแสไฟฟ้าให้มีความเสถียรออยู่ในระดับคงที่และอ่านค่าศักย์ไฟฟ้าซึ่งเป็นหลักการของกัลป์วานิสแตติก (Galvanostatic) หรืออีกวิธีการของ LPR จะกำหนดค่าศักย์ไฟฟ้าให้อยู่ในระดับคงที่และอ่านค่ากระแสไฟฟ้า (Current) เป็นหลักการของโพเทนทิโอสแตติก (Potentiostatic) ซึ่งทั้งสองวิธีมีความแตกต่างกันเช่น สำหรับวิธีของ LPR กำหนดให้ค่าของศักย์ไฟฟ้ามีการเปลี่ยนแปลงได้ไม่น้อยกว่า ± 25 มิลลิโวลท์ในขณะที่วิธีการของ TP ให้การเปลี่ยนแปลงของศักย์ไฟฟ้ามีค่าสูงขึ้นถึง ± 250 มิลลิโวลท์ ความแตกต่างระหว่างวิธีการ LPR และ TP คือการนำเอาผลที่ได้จากการทดสอบนำเสนอมาใช้คำนวณหาค่าอัตราการเกิดสนิม ในกรณีที่ใช้วิธีการของ TP อัตราการเกิดสนิมหาได้จากการนำเอาค่า Tafel Slope (β_a และ β_c) มาแทนค่าลงในสมการที่ 3-6 เพื่อใช้คำนวณหาค่ากระแสไฟฟ้าของ การเกิดสนิม (i_{corr}) และคำนวณหาอัตราการเกิดสนิมได้จากสมการที่ 3-7

$$i = \{ \exp[S_1(E-E_{corr})] - \exp[-S_2(E-E_{corr})] \} \quad (3-6)$$

เมื่อ $S_1 =$ ความลาดชันของแอนodic branch (anodic branch) มีค่าเท่ากับ $2.303/\beta_a$
 $S_2 =$ ความลาดชันของแคนโทนิก branch (cathodic branch) มีค่าเท่ากับ $2.303/\beta_c$



β_a = ค่าคงที่ของแอนodic Tafel constant

β_c = ค่าคงที่ของแคทodic Tafel constant

E_{corr} = ศักย์ไฟฟ้าของการเกิดสนิม (Corrosion potential)

i_{corr} = กระแสไฟฟ้าของการเกิดสนิม (Corrosion current) ในโครเรอม

E = ศักย์ไฟฟ้า และ i = กระแสไฟฟ้า

$$\text{Corrosion Rate} (\mu\text{m}/\text{yr}) = \frac{0.129 I_{corr} EW}{dA} \quad (3-7)$$

เมื่อ i_{corr} = ความหนาแน่นของกระแสไฟฟ้าการเกิดสนิม, $\mu\text{A}/\text{cm}^2$

A = พื้นที่ผิวของเหล็กเสริมภายในออกที่เปิดเผย (cm^2)

$E.W.$ = น้ำหนักเทียนเท่าของเหล็ก

d = หน่วยน้ำหนักของเหล็กเสริม, กรัม/ cm^3 .

การคำนวณหาอัตราการเกิดสนิมของเหล็กโดยวิธี LPR เริ่มแรกต้องคำนวณหาค่า (I_{corr}) จากสมการที่ 16 ซึ่งใช้หลักการพื้นฐานของ Stern-Geary และหลังจากนั้นใช้สมการที่ 3-7 คำนวณหาค่าอัตราการเกิดสนิมของเหล็ก (M.Stern and A.L.Geary, et al, 1957)

$$I_{corr} = \frac{\beta_a \beta_c}{2.3 R_p (\beta_a \beta_c)} \quad (3-8)$$

เมื่อ R_p เป็นความต้านทานโพลาไรซ์ ($\text{k}\Omega \cdot \text{cm}^2$) และ β_a และ β_c เป็นค่าคงที่สามารถหาได้จากการชั้นไฟฟ้า เพื่อให้การคำนวณทำได้ง่ายซึ่งได้กำหนดให้ค่าคงที่ของ $B = 26 \text{ mV}$ ได้มาจากผลงาน วิจัย (C.Andrade and J.A. Gonzalez., et al., 1978) และเปลี่ยนได้ดังสมการที่ 17

$$I_{corr} = \frac{B}{R_p} \quad (3-9)$$

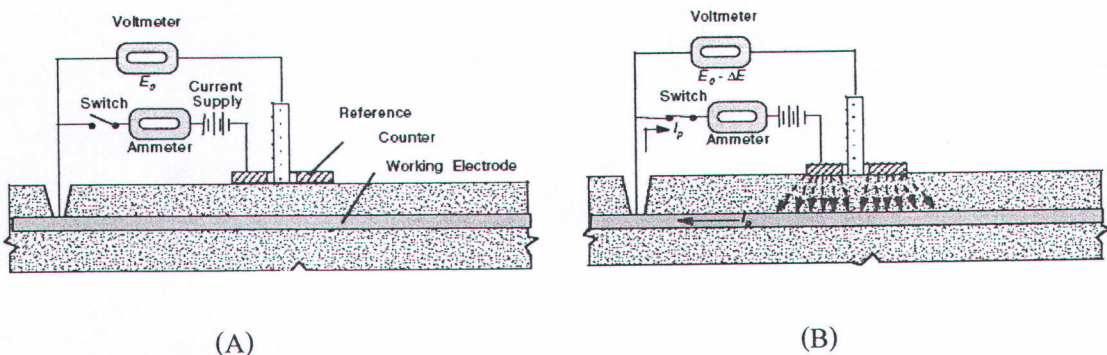
ข้อดีของวิธีการนี้

- แนวความคิดนี้อยู่ภายใต้เงื่อนไขของความถูกต้องในการประเมินค่าไฟฟ้าเพลที่ให้ค่าเท่ากันหรือมากกว่าที่ทำโดยระเบียบวิธีการของ Weight Loss
- ความเป็นไปได้ในการวัดค่าด้วยเทคนิคนี้สามารถวัดค่าในภาวะสุดขีดของอัตราการเกิดสนิมที่มีค่าต่ำมากได้และสามารถใช้เป็นเครื่องบอกให้ทราบถึงการเกิดสนิมได้อย่างเป็นระบบต่อเนื่อง
- Tafel Plot สามารถเตรียมการวัดค่ากระแสไฟฟ้าของการเกิดสนิมได้โดยตรงซึ่งมีความสัมพันธ์กับอัตราการเกิดสนิม
- ค่าอัตราการเกิดสนิมสามารถหาได้อย่างรวดเร็วด้วยค่าของ Tafel Plot



3.5 เครื่องมือที่ใช้ในการวัดค่าความด้านงาน

เครื่องมือพื้นฐานสำหรับวัดค่าความด้านงาน Polarization สำหรับเหล็กเสริมในคอนกรีต ประกอบด้วย 3 ข้อไฟฟ้าตามรูปที่ 3-8 เป็นหลักการพื้นฐานทั่วไปที่นำมาใช้ในการยังคงเป็น '3LP' device เพราะว่ามี 3 ข้อไฟฟ้าที่เป็นตัวนำไฟฟ้า เช่น ข้อไฟฟ้าอ้างอิง (Reference Electrode, RE) ข้อไฟฟ้าใช้งาน เป็นเหล็กเสริม เรียกว่า (Working electrode, WE) และข้อไฟฟ้าตอบสนอง (Counter electrode, CE) ทำหน้าที่เป็นตัวจ่ายกระแสไฟฟ้า Polarization ไปยังที่เหล็กเสริมเป็นเครื่องมือเสริมที่ช่วยวัดค่าแรงดันและ ความแตกต่างกระแสไฟฟ้าในระหว่างการทดสอบ และเครื่องมือสามารถควบคุมใน Potentiostatic mode ซึ่ง มีความแปรผันของกระแสไฟฟ้าก็จะช่วยรักษาความต่างศักย์ของ Working electrode (WE) ให้คงที่หรือจะ ใช้ galvanostatic mode ในการควบคุมค่าความต่างศักย์ที่แปรผันก็จะช่วยรักษาให้กระแสไฟฟ้ามีค่าคงที่ จาก CE ไปยัง WE

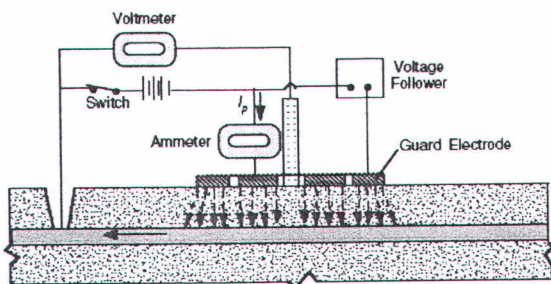


ภาพที่ 3-8 วิธีการวัดค่าโพลาไไลท์เชิงเส้นกับการวัดค่ากระแสไฟฟ้าการเกิดสนิม

ที่มา : (Escslante, E.,1989.,Clear,K.C.1989)

การคำนวณเชิงตัวเลขของการไหลดของกระแสไฟฟ้าตามที่กล่าวมานี้นั้นยังเป็นค่าที่ไม่ถูกต้อง เนื่องจากแนวการไหลดของกระแสไฟฟ้าที่อยู่ด้านได้ของ Counter electrode (CE) ไม่ได้อยู่ในขอบเขตที่ กำหนด (Flis,J.,Sehgal, A.,Li,D.,Kho,Y.T, et al.,1992) การควบคุมที่ดีกว่าจะทำให้แนวการไหลดของ กระแสไฟฟ้าจาก CE ไปยัง WE ดีกว่า และ ได้มีการพัฒนาเครื่องมือซึ่งประกอบด้วย 4 ข้อไฟฟ้า เรียกว่า guard electrode หรือ auxiliary electrode ซึ่งจะมีตำแหน่งอยู่โดยรอบๆ CE (Feiu,S.,Gonzalez, J.A.,Andrade,C.,and Feliu,V.,1989) ดังรูปที่ 3-9 เป็นเครื่องมือที่ใช้วัดอัตราการเกิดสนิมโดยใช้ guard electrode ซึ่งจะช่วยรักษาศักย์ไฟฟ้าเป็น CE จากผลลัพธ์ที่ได้นี้ทำให้การไหลดของกระแสไฟฟ้าจาก CE ไป ยัง WE เป็นการไหลดของกระแสไฟฟ้าอยู่ในขอบเขตภายใน CE สามารถนำเครื่องมือ 3LP ไปใช้ในการประเมิน ค่า Corrosion Rate ในโครงสร้างได้





ภาพที่ 3-9 เทคนิคโพลาไรซ์เชิงเส้นตรงโดยใช้ guard electrode ในการจำกัดกระแสไฟฟ้าจากตัวจ่ายกระแสไฟฟ้า CE ให้อยู่ภายในบริเวณ GE
ที่มา : (Escslante, E., 1989., Clear, K.C. 1989)

ข้อจำกัดของการวัดค่าความด้านทาน

การวัดอัตราการเกิดสนิมโดยใช้ความด้านทานโพลาไรซ์แสดงอยู่ในรูปของเวลาในขณะที่ทดสอบ การวัดอัตราการเกิดสนิมจะเป็นจุดพิเศษ โดยเฉพาะในโครงสร้างที่คาดหวังไว้ซึ่งอยู่กับปัจจัยที่หลากหลาย เช่น ปริมาณความชื้นและ Oxygen ที่ยังมีอยู่ในคอนกรีตและอุณหภูมิ (Clemen et al.) ได้นำเสนอไว้หลายวิธีที่จะใช้ ทำนายอายุการใช้งานของคอนกรีตเสริมเหล็กในอนาคต

- ใช้ค่ามากที่สุดจากการวัดค่าอัตราการเกิดสนิมในการประมาณอายุการใช้งานที่เหลืออยู่
- ใช้ค่าเฉลี่ยของการวัดค่าอัตราการเกิดสนิมในบริเวณตำแหน่งที่เกิดสนิมรุนแรงที่สุดในโครงสร้าง
- ใช้ค่าต่ำสุดและสูงสุดของอัตราการเกิดสนิมในการประเมินค่าช่วงอายุการใช้งานที่เหลืออยู่

การคำนวณค่าอัตราการเกิดสนิมจากความด้านทานโพลาไรซ์โดยใช้ค่าคงที่ $B = 26 \text{ mV}$ เป็นค่าที่เหลือ เสริมริ่มเกิดสนิมซึ่งมีความสัมพันธ์กับปฏิกิริยาเอนดิคิลและปฏิกิริยาแคร์โนดิก (Feliu et al.) ในช่วงเวลาไม่มี การจัดทำมาตรฐานที่อธิบายการวัดค่าอัตราการเกิดสนิม ซึ่งค่าอัตราการเกิดสนิมที่ได้ทางได้จากวิธีการที่แตกต่าง กันและผลที่ได้ก็มีค่าที่แตกต่างกัน ดังนั้นในปัจจุบันมีแนวทางที่เป็นข้อกำหนดของวิธีการทดสอบบนพื้นฐาน ของประสบการณ์จากห้องทดลองและการทดสอบในสถานที่ ได้อธิบายการวัดค่าอัตราการเกิดสนิมโดยใช้ อุปกรณ์เสริมคือ guard electrode (GE) (Andrade, C., and Alonso, C., et al.)

3.6 วิธีการวัดค่าอัตราการเกิดสนิมของเหล็กเสริมในคอนกรีต

ในการที่จะตรวจสอบและประเมินค่าของ Corrosion Rate เป็นสิ่งที่มีความสำคัญในการที่จะกำหนด Polarized Area ของเหล็กเสริม และสามารถที่จะทำการวัดค่า Corrosion Rate มีประสิทธิภาพได้โดยการใช้ guard electrode (GE) สำหรับใช้กำหนดขอบเขตของกระแสไฟฟ้าให้อยู่ในขอบเขตที่จำกัด สำหรับตำแหน่งของ GE จะอยู่รอบๆ แกนกลางของ CE และเป็นการรักษาสภาพศักย์ไฟฟ้า เป็นผลให้การกระจายของสัญญาณจาก CE อยู่



ในขอนเบตที่จำกัดมีพื้นที่ไม่นักกว่าจากชุดกึ่งกลางที่มีการแบ่งแยกเป็นสองส่วนระหว่าง CE และ GE เมื่อหันไปเป็น electrode ที่มีความกว้างที่เท่ากันและภายในส่วนนี้จะมีคุณสมบัติที่เหมือนกัน

วิธีการของเครื่องมือ GECOR 6 มีอุปกรณ์ประกอบไปด้วยอุปกรณ์ที่วัดค่าการกัดกร่อนและ Probe ในส่วนของ Probe จะมี 2 ส่วนที่เป็นข้อ (Electrode)รับและส่งสัญญาณ และ CE ซึ่งอยู่ภายนอก มีขนาดเส้นผ่าศูนย์กลาง 140 นม.ใช้สำหรับ Current Confinement ในการวัดค่า Corrosion Potential จะใช้ Solid Silver/Silver Chloride เป็นข้ออ้างอิงอยู่ที่ตำแหน่งกึ่งกลางของ Probe ซึ่งค่าความต่างศักย์ทุกๆค่า จะอยู่ระหว่างข้อรับส่งสัญญาณทั้งสอง เป็นขบวนการที่มีประสิทธิภาพในการจำกัดขอบเขตของกระแสไฟฟ้ากับพื้นที่ที่อยู่ด้านล่างตรงกันกับ CE ค่าที่วัดได้เป็นค่าที่ถูกต้องนำไปใช้ในการคำนวณหาค่า Polarization Resistance. เครื่องมือนี้ได้พัฒนาในประเทศสเปนผลิตและจำหน่ายใน Illinois โดย GECOR 6

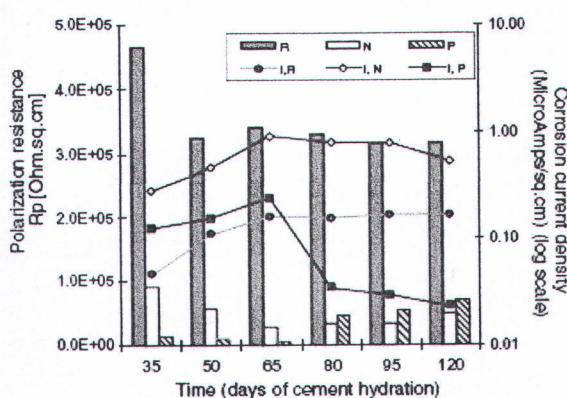
วิธีการของเครื่องมือ 3LP-NBS1 ประกอบไปด้วย Three-Electrode Linear Polarization Technique ใช้สำหรับวัดค่าความต้านทาน (Clear, K.C.1989) การเคลื่อนที่ขึ้นลงของกระแสไฟฟ้าที่ขึ้นลงจนกระทั่งเหล็กเป็น Catholically Polarized ที่ 12 Volts ในระหว่างขบวนการนี้จะใช้การให้ลดลงกระแสไฟฟ้าที่ระดับแรงดัน 4.8 และ 12 mV เป็นค่าที่บันทึกไว้ และ Probe มีส่วนประกอบของ Pencil Copper/Copper Sulfate เป็น Reference Electrode และมีแท่งทองแดงเป็นแกนกลางอยู่ภายใน Probe มีความยาว 17.1 ซม.และไม่มีอุปกรณ์ guard electrode

วิธีการของเครื่องมือ CORROCATCH (NSC) ใช้หลักการควบคุมโดยใช้ galvanostatic double pulse เป็นการใช้ 2 ความถี่ของกระแสไฟฟ้าที่มีช่วงจังหวะของการเต้นที่แตกต่างกันเป็นส่วนที่ช่วยเสริมการจัดเตรียมความถี่ที่มีค่าสูงมากสำหรับใช้วัดค่าความต้านทานของคอนกรีต (Rs) การวัดค่าโดยใช้ความถี่ที่ต่ำกว่าในการวัดค่าเป็นการรวมความต้านทานของคอนกรีต (Rs) และ Polarization Resistance (Rp) ดังนี้ในความแตกต่างกันระหว่างการจัดเตรียมทั้งสองของ (Rp) ซึ่งสามารถที่จะคำนวณหาระยะของการกัดกร่อนและอัตราของการกัดกร่อนได้ เทคนิคที่ใช้จะแตกต่างจาก AC Impedance Technique ความถี่จะไม่ขึ้นลงอย่างรวดเร็ว แต่จะใช้สองความถี่เท่านั้น ความถี่ที่ใช้ในการควบคุมอาจจัดทำขึ้นมาให้เป็นแบบอัตโนมัติที่ความถี่ 1300 และ 0.02 Hz สำหรับค่าความถี่ที่ต่ำมากสามารถที่จะเลือกเป็น 1 mHz ซึ่งค่าอาจจะต่ำไม่เพียงพอที่จะใช้ในการวัดค่า (Rp) ในสถานะ Passive State และสำหรับ Probe จะประกอบด้วยแกนกลางเป็น Silver/Silver Chloride Reference electrode และแกนกลางเป็น Platinum Counter electrode (CE) และguard electrode (GE) ซึ่ง (CE) และ (GE) จะช่วยรักษาค่าความเป็นศักย์ไฟฟ้าให้เท่ากันโดยการใช้แรงดันไฟฟ้า

วิธีการของเครื่องมือ PR Monitor เป็นเครื่องมือที่ใช้หาค่า Corrosion Rate ของเหล็กที่พัฒนาหลังจากสามวิธีการแรกโดยมีการตรวจสอบและประเมินจาก SHRP ใช้หลักการพื้นฐานที่เหมือนกันกับวิธีของGCOR6 device มีอุปกรณ์ภายนอกเป็น guard electrode (CE) ซึ่งช่วยในการ Confinement Current ให้มีค่าสม่ำเสมอ ผลิตและจำหน่ายโดยบริษัท Cortest Instrument Systems in Texas



D.A.Koleva. et al. ได้ศึกษาและวิจัยการเกิดสนิมของเหล็กเสริมในมอร์ต้ารูปทรงกระบอก โดยใช้ วิธีการของ LPR และ EIS ใน การวัดค่าความด้านทานโพลาไลท์ (Polarization Resistance, Rp) เครื่องมือที่ใช้ ในการวัดค่าประกอนด้วย Potentiostat PGSTAT30, combined with FRA2 module, using GPES and FRA software package จากการศึกษาวิจัยนี้ได้แบ่งตัวอย่างทดสอบเป็นสามกลุ่ม โดยกลุ่ม N = Freely Corroding กลุ่ม P = Cathodic Protection และกลุ่ม R = Reference specimen ผลจากการวัดค่าทางไฟฟ้าเคมีโดยวิธี LPR จากภาพที่ 3-10 พบว่าความหนาแน่นกระแสไฟฟ้าการเกิดสนิม (I_{corr}) ของตัวอย่างกลุ่ม N จะเกิดสนิมสูง มากหลังจาก 65 วัน เพราะว่า (I_{corr}) มีค่าเข้าใกล้ $1 \mu\text{A}/\text{cm}^2$ และสำหรับตัวอย่างกลุ่ม P ค่า (I_{corr}) ลดลงอย่างสูง ในช่วงเวลา 65-80 วันและลดลงต่ำสุดที่ $0.03 \mu\text{A}/\text{cm}^2$ ซึ่งหมายความว่ากลุ่มตัวอย่าง P มีการป้องกัน ปฏิกิริยาที่ขึ้นลงจะเกิดสนิมได้ยากกว่ากลุ่ม N และสำหรับค่าความด้านทาน Polarization (Rp) วัดค่าโดยวิธี EIS จากภาพที่ 3-11 พบว่าตัวอย่างกลุ่ม P แนวโน้มที่ว่าไปของความด้านทาน (Rp) มีค่าเพิ่มขึ้น และในกลุ่ม ตัวอย่าง N แนวโน้มที่ว่าไปของความด้านทาน (Rp) มีค่าลดลง สรุปได้ว่าตัวอย่างทดสอบที่มีการป้องกันการ เกิดปฏิกิริยาที่ขึ้นลงจะมีอัตราการเกิดสนิม ได้น้อยกว่า

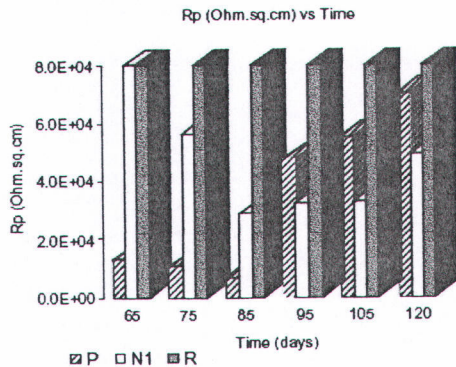


ภาพที่ 3-10 การเปรียบเทียบความด้านทาน Polarization (Rp) โดยวิธี LPR

ที่มา : D.A.Koleva,J.Hu, et al, (2006)

Ha-Won Song and Velu Saraswathy., (2007) ได้ศึกษาและวิจัยพบว่าการหาค่าของพื้นที่โพลาไรซ์ รอบเหล็กเสริมหากได้ค่าที่มีความผิดพลาดก็จะทำให้ ค่าความหนาแน่นกระแสไฟฟ้าการเกิดสนิม (i_{corr}) ที่ คำนวณได้มีค่าผิดพลาดซึ่งจะส่งผลกระทบให้การประเมินค่าอัตราการเกิดสนิมของโครงสร้างคอนกรีตเสริม เหล็กผิดพลาดไปด้วย ดังนั้นต้องทำการกำหนดขอบเขตพื้นที่ของกระแสไฟฟ้ารอบเหล็กเสริม โดยใช้อุปกรณ์ ช่วยเป็น gurad electrod (GE) ให้ทำหน้าที่จำกัดขอบเขตของการไฟฟ้าและแรงดันให้มีความ เสถียรทำให้ได้ค่าอัตราการเกิดสนิมที่ถูกต้องดังรูปที่ 3-10 อย่างไรก็ตามปัจจัยอย่างหนึ่งที่มีผลกระทบต่อค่า polarization area และ (i_{corr}) คือความหนาของคอนกรีตที่ระบะหุ้มของเหล็กเสริม (J.Flis et al.,1998) สรุปว่า หาก polarization area มีค่าเพิ่มขึ้นก็จะทำให้การไฟฟ้ามีความเสถียร จากริธีการดังกล่าวได้มี ผลงานวิจัยในห้องทดลองให้ข้อมูลไว้เพื่อเป็นบรรทัดฐานในการพิจารณาสภาพการเกิดสนิมตามตารางที่ 3-3



ภาพที่ 3-11 การเปรียบเทียบความต้านทาน Polarization (R_p) โดยวิธี EIS

ที่มา : D.A.Koleva, J.Hu, et al, (2006)

ตารางที่ 3-3 กระแสไฟฟ้าการเกิดสนิม เปรียบเทียบภายใต้เงื่อนไขการเกิดสนิมของเหล็กเสริม

อัตราการเกิดสนิม (I_{corr})	เงื่อนไขสภาพของเหล็กเสริม
$I_{corr} < 0.1 \mu\text{A}/\text{cm}^2$	สภาพยังไม่เกิดสนิม
$I_{corr} 0.1 - 0.5 \mu\text{A}/\text{cm}^2$	อัตราการเกิดสนิมต่ำถึงปานกลาง
$I_{corr} 0.5 - 1.0 \mu\text{A}/\text{cm}^2$	อัตราการเกิดสนิมปานกลางถึงสูง
$I_{corr} > 1.0 \mu\text{A}/\text{cm}^2$	อัตราการเกิดสนิมสูง
วิธีการของเครื่องมือที่ไม่มี Guard Electrode	
$I_{corr} < 0.2 \mu\text{A}/\text{cm}^2$	สภาพที่ไม่เกิดสนิม
$I_{corr} 0.2 - 1.0 \mu\text{A}/\text{cm}^2$	มีโอกาสเกิดสนิมที่ 10-15 ปี
$I_{corr} 1.0 - 10 \mu\text{A}/\text{cm}^2$	มีโอกาสเกิดสนิมที่ 2-10 ปี
$I_{corr} > 10 \mu\text{A}/\text{cm}^2$	มีโอกาสเกิดสนิมที่ 2 ปีหรือน้อยกว่า

ที่มา : (C.Andrade, M.C.Alonso. et al,1990)

3.7 ปัจจัยที่มีผลกระทบต่อความต้านทานโพลาไอล์ฟ

เทคนิคที่ใช้วัดค่าอัตราการเกิดสนิมของเหล็กเสริมในคอนกรีตเป็นความสัมพันธ์ของ Stern-Geary ใช้สำหรับการพิจารณาทดสอบแบบไม่ทำลายหาค่าอัตราการเกิดสนิม ดังสมการ (3-10)

$$i_{corr} = B/R \quad (3-10)$$

เมื่อ B = ค่าคงที่

R_p = Polarization Resistance ได้มาจาก การทดลอง

ค่าของ R_p ที่ถูกต้องขึ้นอยู่กับพื้นผิวสัมผัสที่เป็นตัวนำกระแสไฟฟ้าระหว่างพื้นผิวของคอนกรีตกับ Probe สำหรับที่จุดเชื่อมต่อพิวัสัมผัสของคอนกรีตไม่ดีค่า R_p จะไม่แน่นอนทำให้ค่าของกระแสไฟตกต่ำลง



(IR drop) ซึ่งทำให้ผลที่ได้ไม่มีความน่าเชื่อถือ จากการตรวจสอบความถูกต้องถึงผลกระทนบริเวณผิวสัมผัสของคอนกรีตในสภาพที่แห้ง เปียก และ paste ได้รายงานไว้ในตารางที่ 3-4

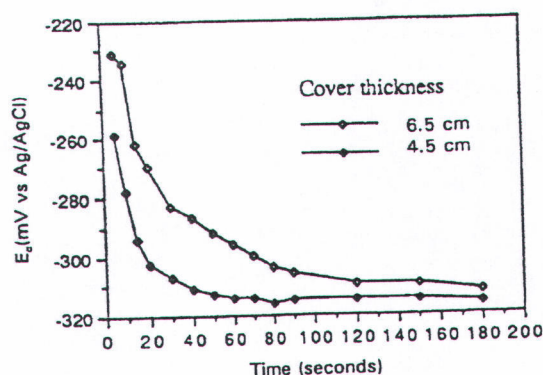
ตารางที่ 3-4 ค่าความต้านทานไฟฟ้า (R_p) ด้วยเครื่องมือ NSC device, ตัวอย่างมอเตอร์ขนาดเล็ก

Specimen	R_p ($\text{K}\Omega \cdot \text{cm}^2$)		
	Dry	Wet	Paste
1	1.55	3.65	3.01
2	1.50	3.64	-
3	1.30	3.10	2.78

ที่มา : (Aquasioic, Parker Laboratories Ins.)

จากตารางที่ 3-4 แสดงให้เห็นถึงผลกระทนของสภาพคอนกรีตต่อค่า R_p ที่วัดได้โดยใช้เครื่องมือ NSC device ค่าของ R_p ที่หาได้ โดยการใช้น้ำหรือ Paste เป็นตัวนำจะให้ค่าของ R_p มากกว่าสภาพคอนกรีตที่แห้งและจะเห็นได้ว่าคอนกรีตที่มีสภาพเป็น Paste และ dry ค่า R_p ที่วัดได้จะต่ำกว่าสภาพที่เปียกและในกรณีพื้นผิวคอนกรีตที่เรียบการกระจายของกระแสไฟฟ้าจะดีกว่าผิวสัมผัสที่ขรุขระ

ค่าของ R_p ที่วัดได้ในสภาพพื้นผิวสัมผัสที่แห้งพบว่า ไม่สามารถนำค่า R_p ไปใช้ต่อได้เนื่องจากมีการกระจายของข้อมูลจำนวนมาก แต่ภายหลังจากที่ผิวสัมผัสของตัวอย่างทดสอบมีความเปียกชื้นค่าของศักย์ไฟฟ้าของการเกิดสนิม Corrosion Potential (E_c) มีการเปลี่ยนแปลงแสดงได้ดังภาพที่ 3-12



รูปที่ 3-12 การเปลี่ยนแปลงของ Corrosion Potential ภายหลังจากพื้นผิวคอนกรีตมีความเปียกชื้น.

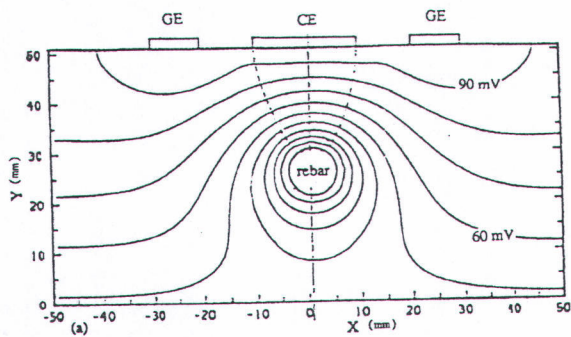
ที่มา : SHAP-S-324

ผิวคอนกรีตที่เปียกชื้นค่าศักย์ไฟฟ้าจะมีค่าสูงขึ้นมากกว่าเนื่องจากมีการซึมผ่านที่ดีของน้ำที่ผิวของคอนกรีต ซึ่งอนิบาลได้ว่าความต้องการ Oxygen สำหรับไว้ทำปฏิกิริยาที่ขั้วลบจะเป็นการทำให้เกิดการซึมผ่านของ Oxygen อย่างเป็นระบบในช่องว่างของคอนกรีต ซึ่งค่า Potential ที่มีค่าที่เป็นลบมากกว่าจะทำให้ปริมาณ

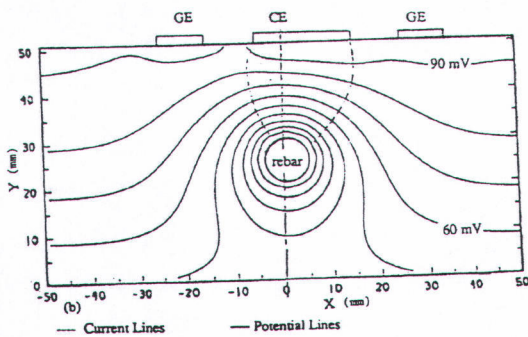


Oxygen มีค่าลดลงก็จะส่งผลให้ค่า Potential มีค่าสูงขึ้นไปอีกจนถึง -200 mv (Tamura, M.,M.nagayama, and K.Shimosawa.)

แลจากรูปที่ 3.12 แสดงให้เห็นถึงช่วงระยะเวลาที่นานค่าศักย์ไฟฟ้าจะมีความเสถียรมาก โดยที่ระยะหุ้มคอนกรีตมีค่าเพิ่มขึ้น ต่อจากนั้นจะสังเกตได้ว่าช่วงเวลาที่ศักย์ไฟฟ้ามีความเสถียร จะขึ้นอยู่กับสภาพของคอนกรีต ถ้าคอนกรีตแห้งจะมีความต้านทานสูงทำให้ค่า (E_c) จะมีความเสถียร เมื่อมีปริมาณความชื้นในคอนกรีตมากกว่าดังเช่นตัวอย่างคอนกรีตทดสอบที่แข็งอยู่ในน้ำคอนกรีตจะมีความต้านทานต่ำ



(A) ตำแหน่งของ Probe มีความสมดุลอยู่เหนือนื้อเหล็กเสริม



(B) ตำแหน่งของ Probe เคลื่อนย้ายจากตำแหน่งตรงกลางของเหล็กเสริม

ภาพที่ 3.13 ตำแหน่งของ Probe ที่มีผลกระทบต่อการกระจายของกระแสและแรงดันไฟฟ้าในคอนกรีต

ที่มา: SHAP-S-324

จากรูปที่ 3.13 แสดงถึงการจำลองรูปแบบการไฟฟ้าและการกระจายของศักย์ไฟฟ้า เป็นตัวอย่างที่กำหนดให้ตำแหน่งของเหล็กเสริมอยู่ตรงกลางภายใต้ Probe ซึ่งจะทำให้ค่า Potential ที่มีความเสถียรมาก และเมื่อมีการเคลื่อนย้ายตำแหน่งของ Probe จากจุดตรงกลางของเหล็กเสริมจะมีผลทำให้ Polarized area รอบๆเหล็กเสริมมีการเปลี่ยนแปลงแนวกว้างมากขึ้น ดังรูปที่ 23 (A) และ (B) สัดส่วนของ Polarized area



โดยรอบเหล็กเสริมตามรูปที่ 3.13 (A) จะมีขนาดที่มากกว่า รูปที่ 23 (B) และรูปแบบนี้จะเป็นการตรวจสอบที่มีความถูกต้องในการวัดค่าของ R_p ทำได้โดยใช้เครื่องมือ NSC device ใน การวัดค่า R_p แสดงผลในตารางที่ 3-4 เมื่อมีการเคลื่อนย้ายตำแหน่งของ Probe จำไม่ผลทำให้ค่า R_p ลดลงซึ่งจะมีผลทำให้ Polarized area เพิ่มขึ้น โดยที่เหล็กเป็นวัสดุที่เป็นตัวนำไฟฟ้าอยู่ในคอนกรีตที่มีความต้านทานสูงและเป็นขนาดที่จำกัด ตำแหน่งของ Probe ที่มีความแตกต่างกันจะให้ผลในการกระจายของกระแสไฟฟ้าและแรงดันไฟฟ้าที่แตกต่างกันแสดงในรูปที่ 3-13(B) ซึ่งเป็นรูปแบบที่ไม่ดีในการโหลดของกระแสไฟฟ้าในส่วนของการที่จะนำค่า R_p ไปใช้ในการคำนวณหาอัตราการเกิดสนิม

ตารางที่ 3.5 ผลกระทบจากการเคลื่อนย้ายตำแหน่งของ Probe ต่อการวัดค่า R_p โดยใช้เครื่องมือ NSC Device กับจำนวนคอนกรีตหลายตัวอย่าง

Measurement	Site	R_p ($k\Omega \cdot cm^2$)	
		Symmetrical ^b	Displaced ^c
A		48.35	40.27
B		64.33	52.39
C		74.61	49.46
D		41.32	29.38

^aAverage of three result report. ^bProbe centered symmetrically over rebar. ^cProbe Displaced 0.5 cm(0.2in.) from the rebar center.

ที่มา : SHAP-S-324

3.8 พื้นที่สัมภานไฟฟ้า

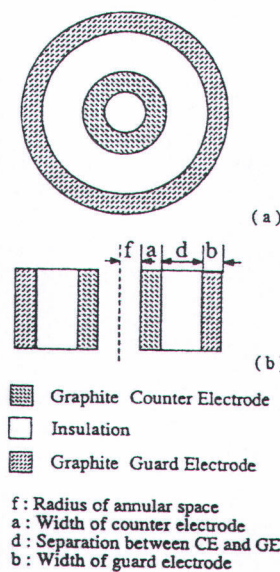
จากความสัมพันธ์ของ Stern-Geary เป็นวิธีการที่ใช้ทดสอบแบบไม่ทำลายซึ่งใช้สำหรับหาค่าอัตราการเกิดสนิมของเหล็กเสริมในคอนกรีต (Andrade,C.and J.A.Gonzalez.,1987) อย่างไรก็ตามในโครงสร้างคอนกรีตที่มีเหล็กเสริมในปริมาณมาก และเป็นไปไม่ได้ที่ CE จะสามารถ Polarized area ของผิวของเหล็กเสริมได้ทั้งหมด เพราะว่า CE จะทำหน้าที่เป็นตัวส่งสัญญาณกระแสไฟฟ้าไปยังเหล็กเสริม (WE) ซึ่งเมื่อพิจารณาแล้ว CE จะมีพื้นที่ในการส่งสัญญาณกระแสไฟฟ้าได้น้อยกว่า WE มาก ส่งผลให้การกระจายของสัญญาณที่อยู่เหนือนี้อเหล็กเสริมเป็นแบบไม่สม่ำเสมอและความหนาแน่นของกระแสไฟฟ้าที่ส่งสัญญาณไปก็จะลดลงและหายไปในที่สุดเมื่อ CE มีการเคลื่อนย้ายตำแหน่ง ดังนั้นการกระจายการส่งสัญญาณของกระแสไฟฟ้าจะเป็นแบบไม่สม่ำเสมอและขึ้นอยู่กับองค์ประกอบ เช่นตำแหน่งของเหล็กเสริม (มีกระแสไฟฟ้าไม่มีความเสถียรและมีการกระจายอย่างมากสำหรับเหล็กเสริมที่ยังไม่เกิดสนิม) ค่าความต้านทานไฟฟ้าของคอนกรีต (สัญญาณกระแสไฟฟ้าที่ส่งไปยังเหล็กเสริมจะไม่มีความเสถียรเป็นอย่างมากในคอนกรีตที่มีความต้านทานต่ำ) ขนาดของ CE ที่เพิ่มขึ้นจะทำให้ค่าของ R_p ที่วัดได้ขึ้นอยู่กับการกระจายของกระแสไฟฟ้าที่เกิดขึ้นจริง (Feliu, S., J.A.



Gonzalez.,1990) และการเลือกใช้คลื่นความถี่ เช่น ถ้าพื้นที่ของ WE มีมากกว่า พื้นที่ของ CE ค่า Polarized area ขึ้นอยู่กับการรับกวนของความถี่ (Polarized area มีค่าเพิ่มขึ้นการรับกวนของความถี่จะมีค่าลดลง) (Macdonald,D.,1988)

คำจำกัดความของ Polarized area ของเหล็กระหว่างการวัดค่าซึ่งจะมีข้อรับส่งสัญญาณของกระแสไฟฟ้า 2 ขั้ว โดยที่ GE จะอยู่โดยรอบแกนกลางของ CE ซึ่งทำหน้าที่รักษาสภาพศักย์ทางไฟฟ้าไม่ให้กระจายออกไปเกินขอบเขต ผลของการกระจายของสัญญาณไฟฟ้าจาก CE จะอยู่ภายใต้ขอบเขตซึ่งเป็นส่วนที่แยกกันระหว่าง CE และ GE เมื่อทั้งสองขั้วมีขนาดความกว้างที่เท่ากัน จากรูปตัดขวางในแนวตั้ง ($b=c$ in.) ในภาพที่ 25 และคอนกรีตเป็นตัวนำไฟฟ้าที่มีคุณสมบัติเหมือนกันภายในได้เงินไขของการให้เหล็กเสริมเป็นตัวนำกระแสไฟฟ้าที่มีความสม่ำเสมอ

ขั้นส่วนต่างๆที่ประกอบรวมกันของ Guard electrode (GE) และ CE แสดงในรูปที่ 24 ในช่องว่างที่มีวงแหวนล้อมรอบเป็นตำแหน่งของ CE และ RE จะเป็นตัวตอบสนองของการส่งสัญญาณจาก Polarized area ของเหล็ก โดย CEประกอบไปด้วย graphite รูปทรงกระบอกเป็นขั้วไฟฟ้า และพลาสติกสังเคราะห์ (Polyethylene) หรือแก้ว(glass) เป็นวัสดุทำหน้าที่เป็นฉนวน



ภาพที่ 3.14 ขั้นส่วนที่ประกอบรวมกันของ CE และ GE: a) Top View : b) Cross Section View

ที่มา : SHAP-S-324

สำหรับในตารางที่ 3-6 เป็นผลจากการวัดค่า R_p ของมอร์ต้าตัวอย่างขนาดเล็กโดยใช้ (NSC device) เป็นเครื่องมือวัด จากทุกตัวอย่างค่าของ R_p จะมีค่าเพิ่มขึ้นตามอันดับขนาดและเมื่อใช้ (GE) แสดงให้เห็นว่า สัญญาณกระแสไฟฟ้าที่ส่งจาก CE จะช่วยลด Polarized area ตามอันดับขนาด ผลลัพธ์ที่ได้นี้เป็นที่ยอมรับ และแสดงให้เห็นว่า GE มีประสิทธิภาพในการจำกัดขอบเขตการกระจายของการส่งสัญญาณกระแสไฟฟ้าที่ดี (Jackson,P.D.,1981 and Matsuoka,K.,1990)



ตารางที่ 3.6 ความด้านท่านโพลาไรซ์ (R_p) ได้จากการวัดโดยเครื่องมือ NSC device ด้วยมอร์ตาร์

ตัวอย่างขนาดเด็กโดยใช้ Guard electrode (GE)

Specimen	Polarization Resistance ($k\Omega \cdot cm^2$)		Low Frequency Used (Hz)
	W/O GE	W/GE	
1	1.42	17.12	0.01
1	1.06	11.69	0.04
2	0.94	13.77	0.01
2	0.59	9.95	0.04
3	1.16	18.74	0.01
3	0.90	14.35	0.04

ที่มา : SHAP-S-324

อย่างไรก็ตามมีงานวิจัยจำนวนมากที่ใช้สมมุติฐานในการส่งสัญญาณจาก CE ไปยัง Polarized area ที่อยู่ด้านล่างรอบๆ เหล็กเสริม โดยสมมุติฐานนี้ โดยที่คำจำกัดความของ Polarized area เป็นไปได้ดังสมการที่ 3-11 (Matsuoka,K.,1990)

$$A = 2\pi rL \quad (3-11)$$

เมื่อ

r = รัศมีของเหล็กเสริม และ

L = ความยาวของของ CE

Matsuoka. ได้ประยุกต์ใช้วิธีการ Finite element ในการวิเคราะห์หาค่าความยาว L ในขณะที่ สมมุติฐานว่า Polarized area ทั้งหมดจะทำโดยรอบของเหล็กเสริมระหว่างการวัดค่า R_p และในระหว่างการทดลอง ได้ใช้คอมพิวเตอร์ในการเลียนแบบจากของจริงพบว่าไม่สามารถที่จะ Polarized area รอบๆ เหล็กเสริม ได้ทั้งหมดแต่ถ้าต้องการที่จะใช้ CE ส่งสัญญาณกระแสไฟฟ้าเพียงอย่างเดียวเพื่อให้ Polarized area รอบๆ ของเหล็กเสริม ได้โดยสมมุติฐาน Equipotential lines ต้องนานกับพื้นผิวของเหล็กเสริม ดังนั้น Current Line ต้องตั้งฉากกับเส้น Potential Lines มีทิศทางเป็นเส้นตรงไปยัง Polarized ที่ผิวของเหล็กเสริม และเมื่อใช้ GE และ CE จะสามารถช่วยรักษาศักย์ไฟฟ้าให้มีค่าความเสถียรและดังนั้นพื้นที่ของเหล็กเสริมที่ถูก Polarized ก็จะไม่เกิดการซ้อนทับกันค่ากระแสไฟฟ้าที่แหล่งน้ำมีความเสถียร

